基于 Mamba 的跨数据集情绪识别方法研究

黄嘉扬¹ 翁湖钦¹ 韩伟业¹ 秦 伟¹* HUANG Jiayang WENG Huqin HAN Weiye QIN Wei

摘要

近年来,基于脑电信号的情绪识别取得了显著进展,但研究仍以单一数据集情绪识别为主。随着公开脑电数据集的增加,研究逐渐转向跨数据集情绪识别。然而,由于个体差异、环境条件和数据采集设备等因素导致数据分布存在较大差异,使得跨数据集情绪识别面临较大挑战。文章针对跨数据集情绪识别任务,基于 Mamba 模型提出了 CD-Mamba 模型,并在 THU-EP 和 SEED 数据集上进行实验。为了更客观、公平地评估跨数据集情绪识别性能,通过引入新的验证方法,避免相同视频片段对情绪识别结果产生偏差。此外,通过挑选不同数据集的公共通道,确保跨数据集任务的可行性,同时提升了模型的泛化能力及准确性。实验结果表明,CD-Mamba 模型在跨数据集情绪识别任务中取得了良好效果,为跨数据集情感识别研究提供了新的研究思路。

关键词

脑电信号;情绪识别;跨数据集; Mamba

doi: 10.3969/j.issn.1672-9528.2025.08.024

0 引言

情感脑机接口(affective brain-computer interfaces, aBCIs)能够让机器监测和调节人类的情绪状态,从而促进人类的认知、沟通和决策能力。在脑机接口(BCI)中,采用了多种模态,包括立体脑电图(stereoelectroencephalography, SEEG)、功能磁共振成像(functional magnetic resonance imaging, fMRI)和脑电图(electroencephalogram, EEG)。其中,EEG由于其非侵入性、抗干扰性及数据采集的便捷性,在研究和实际应用中受到越来越多的关注。近年来,基于脑电信号的情绪识别已成为一个备受关注的研究领域,并取得了显著的研究进展[1-5]。

目前许多情绪识别方法主要使用监督机器学习技术,并 且是基于单一数据集的跨被试情绪识别研究。跨被试情绪识 别是从训练被试的数据中建立的情绪识别模型推广应用到未 知被试身上,从而实现对新被试情绪状态的准确预测。跨被 试情绪识别的难点在于个体差异显著,不同被试的脑电信号 特征往往表现出明显的个性化差异。

近年来,研究人员普遍采用深度学习模型解决跨被试情绪的问题。例如,卷积神经网络(convolutional neural networks, CNN)能够从原始的脑电信号数据中提取有效的时间信息。Lawhern等人^[6]提出了一种紧凑的卷积神经网络架构EEGNet,用于 EEG 信号的脑机接口深度模型,该模型通过

引入深度卷积和可分离卷积,显著减少了模型参数数量的同时,并在多种BCI范式中表现出良好的跨范式泛化能力。然而,CNN主要侧重于局部时间特征的提取,难以捕捉全局信息。

为学习全局的信息,得到更加泛化的效果,研究者开始关注到 Transformer 架构 ^[7]。Song 等人 ^[8]提出了一种名为 EEG Conformer 模型,该模型结合卷积神经网络和自注意力机制,用于统一提取 EEG 信号的局部和全局特征,显著提升了运动想象和情绪识别等 EEG 解码任务的性能,并提供了可视化策略以增强模型的解释性。Si 等人 ^[9]提出了一个混合注意卷积网络与 Transformer 网络(mixed attention-based convolution and transformer network, MACTN)的模型,通过用 CNN 提取局部的时间信息,并使用通道注意力机制选取与任务相关的通道,再由 Transformer 架构提取全局的信息,并在多个数据集上衡量模型的情感识别性能。

上述提到的工作都是基于单数据集的验证方式,随着公开脑电数据集的增加,研究重点逐渐向跨数据集情绪识别方向发展。然而由于个体差异、环境条件和数据采集设备等因素导致数据分布存在较大差异,跨数据集的泛化是脑电信号研究的一个关键挑战。因此本文是基于跨数据集情绪识别问题进行研究。

1 数据集

本文选取了两个情感识别数据集进行跨数据集情绪识别实验。

^{1.} 五邑大学 广东江门 529020

- (1) SEED^[10-11] 数据集由上海交通大学教授吕宝粮于2015年10月发布,是一个基于62导联EEG信号的情感计算数据集。该数据集包含15名被试(7名男性、8名女性)的脑电图数据,通过选取15部中国电影片段来激发被试的情绪反应。每位被试均体验了3类情绪类型:积极、中性和消极。数据集采集的采样率为1000Hz。
- (2) THU-EP^[12] 数据集是 2022 年世界机器人大赛提供的情感计算数据集,包含 80 名被试(50 名男性、30 名女性)的 32 导联 EEG 数据。该数据集采用 28 段视频片段来激发情绪,覆盖了 9 类情绪类型:愤怒、厌恶、恐惧、悲伤、快乐、愉悦、激励、温情和中性。数据集采集的原始采样率为 250 Hz。

2 数据预处理

在进行跨数据集情绪识别中的深度学习方法研究中,首 先对多个数据集的脑电数据进行预处理。为保证不同数据集 的样本维度相同并提高脑电数据的质量,将读取数据集的完 整数据并进行统一预处理。

根据文献 [9] 的数据预处理,首先对脑电数据进行重参考。对给定的脑电信号片段,通过匹配不同数据集中的相同通道,确保数据能够输入统一模型。同时,对数据进行相邻通道重参考,以提高信号质量并减少噪声,即相邻通道的信号会进行相减处理,如图 1 所示。接下来,对脑电信号片段进行带通滤波(0.5~45 Hz)和带阻滤波(48~52 Hz),保留有用的频率信息,以有效进行情绪分类。由于两个数据集的原始采样率不同,将其统一调整为 125 Hz。最后,为消除同一设备和不同设备之间的个体差异,对每个样本的电极数据进行 Z-score 标准化。

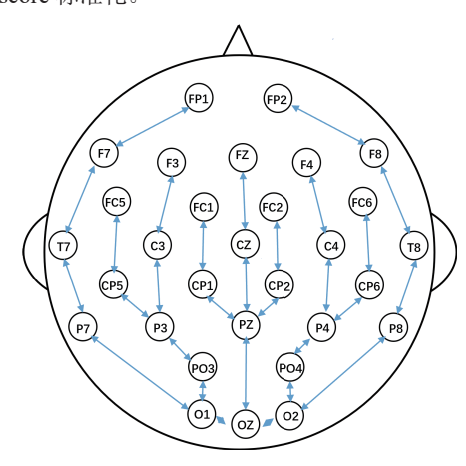


图 1 相邻通道重参考

此外,为解决两个数据集的标签异构问题,将 THU-EP 数据集的 9 类转为 SEED 数据集对应的 3 类标签,即积极标签包含快乐、愉悦、激励和温情,消极标签包含愤怒、厌恶、恐惧、悲伤,而中性标签相对应,具体如表 1 所示。

表 1 两个数据集的标签转换

SEED 数据集	THU-EP 数据集		
积极	快乐		
	愉悦		
	激励		
	温情		
中性	中性		
消极	愤怒		
	厌恶		
	恐惧		
	悲伤		

对两个数据集的视频片段的数据进行按 6 s 一个样本,时间窗口的步幅为 4 s,即一个样本的维度是 (30,750),其中,30 指 30 个电极通道,而 750 是 6 s 乘以 125 Hz 得到的样本长度。由此可得,SEED 的样本数是 37 575,THU-EP 的样本数是 34 617。由于 THU-EP 数据集的标签不均衡,将按最小的标签数进行对齐,最终得到的样本数是 8 880。

3 CD-Mamba 模型

在 EEG 信号处理中,时间序列信息在脑电信号中具有关键作用。EEG 信号作为一种时序数据,包含了人脑活动的动态变化模式,不仅反映了大脑在特定时刻的活动状态,还揭示了不同时间点之间的依赖关系,这种特性对情绪、运动、记忆等复杂大脑活动的解析尤为重要。因此,在脑电信号特征提取中,捕捉和建模这些时间序列的依赖关系,可以更准确地描绘脑信号的时序特征,从而提升解码精度。

本文引入 Mamba 模块 ^[13],Mamba 模型在计算机视觉领域具有出色的长序列建模性能,能够增强模型在时间维度上的处理效果。Mamba 模块可以对时间序列进行深度特征提取,帮助模型捕捉 EEG 信号中复杂的跨时间依赖关系。结合CNN 的局部时空特征提取能力和 Mamba 模块对时间序列的全局捕获,设计了 CD-Mamba(cross dataset mamba)模型,该模型从不同的数据集挑选公共通道后实现了跨数据集情绪识别,如图 2 所示。

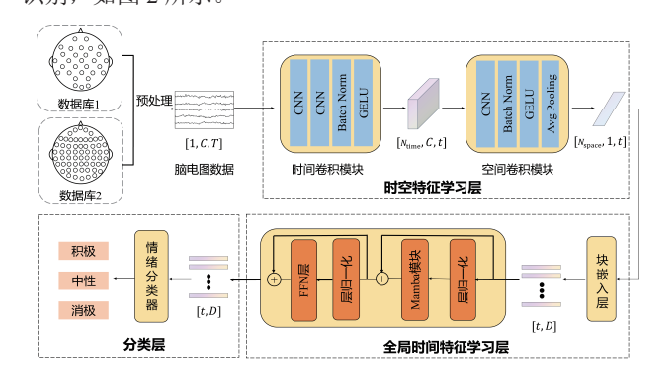


图 2 CD-Mamba 模型的总体架构

由于模型处理的是跨数据集问题,将评估模型性能的数

据集定义为目标域数据集,目标域数据集划分为训练集和测 试集, 其中测试集用于评估跨数据集情绪识别性能: 另一个 数据集作为训练集,用于辅助训练,定义为源域数据集。将 两个数据集合并为一个大的脑电信号数据集,对于一个脑电 信号样本可以定义为 $x \in \mathbb{R}^{1 \times C \times T}$, 其中, C表示公共电极数, T表示该样本的时间长度对应的采样点数。所提模型框架包 含 3 大主要部分: 时空特征学习层、全局时间特性学习层和 分类层。在时空特征学习层,使用卷积神经网络提取局部时 间信息和通道间的关系;接着,在全局时间特征学习层,通 过 Mamba 机制捕捉与情绪相关的全局时间信息: 最后, 在 分类层讲行情绪预测。

3.1 时空特征学习层

在情绪识别模型中,时空特征学习层旨在从 EEG 数据中 有效提取局部时间信息和全局空间信息。该模块由时间卷积 和空间卷积两部分组成,分别负责从时间域和空间域提取脑 电信号特征。以下分别介绍时间卷积模块和空间卷积模块的 设计。

时间卷积模块的主要任务是捕获 EEG 信号中的局部的时 间信息。EEG 信号具有明显的时间依赖性,不同时间点的信 号变化包含了丰富的情绪相关信息。通过时间卷积,可以有 效提取这些时间信息,从而提升模型对情绪状态的泛化能力。 具体公式为:

$$\tilde{\mathbf{x}} = \text{Conv2d}(\mathbf{x}; k_{\text{time}}, N_{\text{time}}) \tag{1}$$

式中: k_{time} 是时间卷积核的大小,表示为一维卷积核的尺寸; N_{time} 是卷积核的个数; $\tilde{x} \in \mathbf{R}^{N_{\text{time}} \times C \times t}$ 是经过时间卷积后的结 果; t是卷积后的时间特征维度大小。

EEG 信号具有强烈的空间依赖性,不同电极通道之间的 交互信息对情绪识别尤为重要。因此,空间卷积模块用于捕 捉通道间关系,同时实现数据降维。通过这种方式,可以提 高模型的计算效率,同时保留关键特征。将特征 \tilde{x} 作为输入, 经过空间卷积层后,得到新特征,具体公式为:

$$\hat{\mathbf{x}} = \text{Conv2d}(\tilde{\mathbf{x}}; k_{\text{space}}, N_{\text{space}})$$
 (2)

式中: k_{space} 是空间卷积核的大小; N_{space} 是空间卷积核的个数。 通过卷积操作,输出的特征维度变为 $\hat{x} \in \mathbb{R}^{N_{\text{space}} \times |x|}$,有效整合 了空间维度的信息。

3.2 全局时间特征学习层

为捕获 EEG 信号中的全局时序信息,设计了全局时间 特征学习层,全局时间特征学习层包含块嵌入层(Patch Embedding)和 Mamba 提取层。这一设计受到文献 [7]的启发, 旨在增强模型对全局时间特征的学习能力。

首先将特征 \hat{x} 变换一下维度为 $\bar{x} \in \mathbf{R}^{t \times k_{space}}$, 通过线性层 $E \in \mathbf{R}^{k_{\text{space}} \times D}$ 把每个时间点转化为嵌入块,紧接着输入到残差 结构的 Mamba 模块中学习全局时间信息,具体公式分别为:

$$\mathbf{z}_0 = [\overline{\mathbf{x}}_1 \mathbf{E}; \overline{\mathbf{x}}_2 \mathbf{E}; \dots; \overline{\mathbf{x}}_t \mathbf{E}] \tag{3}$$

$$\overline{z}_{l} = \text{Mamba}(\text{LN}(z_{l-1})) + z_{l-1}, l = 1, 2, ..., L$$
 (4)

$$\mathbf{z}_{l} = \text{FFN}(\text{LN}(\overline{\mathbf{z}}_{l})) + \overline{\mathbf{z}}_{l}, l = 1, 2, ..., L$$
 (5)

O 经过线性变换之后,得到的特征 $z_0 \in \mathbf{R}^{r \times D}$, D 是线性 变换后的嵌入块的维度; LN 是层归一化(Layer Normalization), FFN 是由多层感知机(MLP)组成,对学习后的特 征进行线性变换。定义 Mamba 提取层有 L 层,最后一层的 输出特征为 $z_L \in \mathbf{R}^{\kappa D}$,在全局时间特征学习层的特征输入和 输出维度是不会改变的。

3.3 分类层

最后,分类层主要由一层线性层组成,具体公式为:

$$h = \text{BatchNorm}(\text{AvgPool}(z_L))$$
 (6)

$$\tilde{\mathbf{v}} = \mathbf{h}\mathbf{w} + \mathbf{b} \tag{7}$$

式中: BatchNorm 是批标准化; AvgPool 是平均池化, 用于 降维,得到特征向量 $h \in \mathbf{R}^{I \times D}$; $\mathbf{w} \in \mathbf{R}^{D \times N_{class}}$ 和 $\mathbf{h} \in \mathbf{R}^{1 \times N_{class}}$ 是线 性层的参数,用于预测分类; N_{class} 是指标签类别数。

4 实验

本文以 SEED 数据集作为目标域,将其划分为训练集 和测试集,使用测试集评估模型的情绪识别性能;同时,将 THU-EP 数据集作为源域,用于训练集的部分数据。

4.1 实验细节

本实验的训练过程中,采用了 SGD (stochastic gradient descent) 优化器,训练的轮次(epoch)统一用50,批次大 小 (batch size) 设置为 64, 学习率是 0.001, 损失采用交叉 熵损失函数,而 CD-Mamba 模型的超参数如表 2 所示。

表 2 CD-Mamba 模型参数

超参数	值
D	80
L	4
$N_{ m time}$	40
$k_{ m time}$	(1, 25)
$N_{ m space}$	40
$k_{ m space}$	(30, 1)

文献 [14] 对 SEED 数据集进行了进一步划分,以确保训 练集和测试集使用的视频刺激不一致,从而减少相同刺激视 频对模型性能的影响,如图 3 所示。此外,为了更合理、客 观地评估模型,采用了基于跨被试的五折交叉验证方法。由 于 SEED 数据集的 3 个会话中使用的是相同的视频片段,为 避免相同视频对实验结果的干扰,根据文献[14]提出的验证 方法,将 SEED 数据集中的 15 个刺激视频进行划分:训练集 中被试的前9个视频片段的脑电数据作为训练集,测试集中 被试的后6个视频片段的脑电数据作为测试集。这一划分方 式有助于消除视频内容带来的影响,从而更准确地评估模型 的性能。

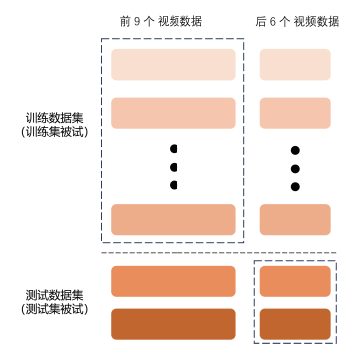


图 3 新的验证方法

4.2 对比方法

使用以下方法对比所提模型,结果为:

- (1) EEGNet [6]: 通过深度卷积和可分离卷积减少模型 参数量,具有良好的跨任务污化能力和对有限数据的适应性。
- (2) DeepConvNet[15]: 采用浅层和深层卷积神经网络对 EEG 数据集进行分类,从而提升了分类准确性。
- (3) TSception^[16]: 通过动态时间层、非对称空间层及 高阶融合层学习 EEG 的空间非对称性和时间信息,从而实现 情绪状态的分类。

表 3 不同模型在 SEED 数据集及跨数据集下的平均准确率

模型	通道数	SEED 数据集			
		Session 1	Session 2	Session 3	平均
EEGNet	30	55.82	52.16	53.53	53.84
DeepConvNet		46.55	47.59	48.90	47.68
TSception		55.82	49.52	54.74	53.36
CD-Mamba		59.92	52.90	56.09	56.30
EEGNet	62	55.97	52.94	54.88	54.60
DeepConvNet		55.86	56.27	57.77	56.63
TSception		56.62	55.31	56.68	56.20
CD-Mamba		57.99	55.91	56.29	56.73

模型	通道数	THU-EP->SEED 数据集			
		Session 1	Session 2	Session 3	平均
EEGNet	30	56.34	50.85	53.78	53.66
DeepConvNet		53.45	50.67	53.24	52.45
TSception		56.31	50.93	54.62	53.95
CD-Mamba		61.66	56.15	58.00	58.60

表 3 展示了 3 次 Session 的实验结果, 平均结果表明, 所提模型在跨数据集使用下, CD-Mamba 模型的准确率比单 数据集 62 通道的 CD-Mamba 模型高出 1.87%, 比单数据集

30 通道的 CD-Mamba 模型高出 2.3%。这表明所提模型充分 利用了其他数据集的数据信息。此外,模型比其他3个模型 最高准确率都高,相比 EEGNet 模型,所提模型高 4%;相比 DeepConvNet 模型,所提模型高 1.97%;比 TSception 模型高 2.4%, 说明所提模型在跨数据集的情况下有显著提升。

模型的混淆矩阵如图 4 所示,通过对 Session 1、Session 2 和 Session 3 的混淆矩阵进行分析可以看出,模型在 识别积极情绪方面表现稳定且良好,正确率在3个Session 上的结果分别为75%、71%和71%,显示出对积极类型的 情绪有较强的分类能力。同时,模型对中性情绪的识别也 表现出较好的性能,整体趋势仍较为稳定。对于消极情绪, 模型的识别结果稍有起伏。总体而言,模型在识别积极情绪 上表现优异,对中性和消极情绪的分类也具备一定准确性, 未来可以通过进一步优化中性和消极情绪间的细微差异来 提升整体性能。

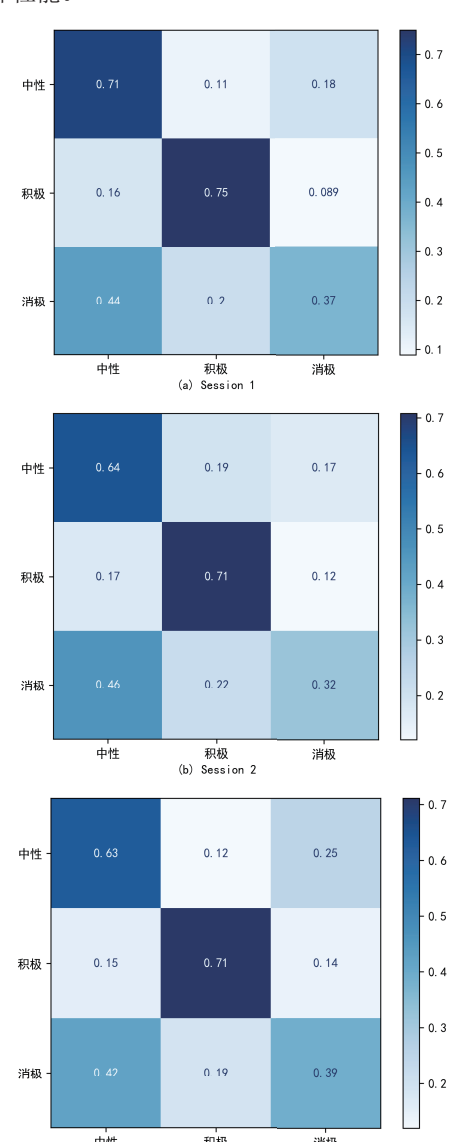


图 4 CD-Mamba 的混淆矩阵

5 结论

本文通过采用公共通道和公共标签映射的方法, 解决了 跨数据集情绪识别中标签异构和通道异构的问题。同时,通 过统一的预处理流程,确保不同通道数的数据集能够在同一 模型下进行训练。此外,为避免训练集和测试集的刺激视频 存在相同视频片段作为情绪刺激引发潜在干扰, 在跨被试实 验的基础上,采用新的数据集划分策略。实验结果表明,在 跨数据集场景下,模型性能得到了提升。该研究对解决跨数 据集情绪识别问题具有重要的参考价值。

参考文献:

- [1] ALI M, MOSA A H, AL MACHOT F, et al. EEG-based emotion recognition approach for e-healthcare applications[C]//2016 eighth international conference on ubiquitous and future networks (ICUFN). Piscataway:IEEE,2016: 946-950.
- [2] XU J H, ZHONG B C. Review on portable EEG technology in educational research[J]. Computers in human behavior, 2018, 81: 340-349.
- [3] ZHANG J H, YIN Z, CHEN P, et al. Emotion recognition using multi-modal data and machine learning techniques: a tutorial and review[J]. Information fusion, 2020, 59: 103-126.
- [4] CHEN C Q, LI Z C, KOU K I, et al. Comprehensive multisource learning network for cross-subject multimodal emotion recognition[J].IEEE transactions on emerging topics in computational intelligence, 2025,9(1):365-380.
- [5] WU D R, LU B L, HU B, et al. Affective brain-computer interfaces (aBCIs): a tutoria1[J]. Proceedings of the IEEE, 2023, 111(10): 1314-1332.
- [6] LAWHERN V J, SOLON A J, WAYTOWICH N R, et al. EEGNet: a compact convolutional neural network for EEGbased brain-computer interfaces[J]. Journal of neural engineering, 2018,15(5): 56013.
- [7] DOSOVITSKIY A, BEYER L, KOLESNIKOV A, et al. An image is worth 16x16 words: transformers for image recognition at scale[EB/OL].(2021-06-03)[2025-02-11].https://doi. org/10.48550/arXiv.2010.11929.
- [8] SONG Y H, ZHENG Q Q, LIU B C, et al. EEG Conformer: convolutional transformer for EEG decoding and visualization[J].IEEE transactions on neural systems and rehabilitation engineering, 2022, 31: 710-719.
- [9] SI X P, HUANG D, LIANG Z, et al. Temporal aware mixed

- attention-based convolution and transformer network for cross-subject EEG emotion recognition[J]. Computers in biology and medicine, 2024, 181: 108973.
- [10] DUAN R N, ZHU J Y, LU B L. Differential entropy feature for EEG-based emotion classification[C]//2013 6th International IEEE/EMBS Conference on Neural Engineering (NER). Piscataway:IEEE,2013: 81-84.
- [11] ZHENG W L, LU B L. Investigating critical frequency bands and channels for EEG-based emotion recognition with deep neural networks[J].IEEE transactions on autonomous mental development, 2015, 7(3): 162-175.
- [12] HU X, WANG F, ZHANG D. Similar brains blend emotion in similar ways: neural representations of individual difference in emotion profiles[J]. Neuroimage, 2022, 247: 118819.
- [13] GU A, DAO T. Mamba: linear-time sequence modeling with selective state spaces[EB/OL].(2024-05-31)[2024-11-26]. https://doi.org/10.48550/arXiv.2312.00752.
- [14] HU HY, ZHAO LM, LIUYZ, et al. A novel experiment setting for cross-subject emotion recognition[C]//2021 43rd Annual International Conference of the IEEE Engineering in Medicine & Biology Society (EMBC). Piscataway: IEEE, 2021: 6416-6419.
- [15] SCHIRRMEISTER R T, SPRINGENBERG J T, FIEDERER L D J, et al. Deep learning with convolutional neural networks for EEG decoding and visualization[J]. Human brain mapping, 2017, 38(11): 5391-5420.
- [16] DING Y, ROBINSON N, ZHANG S, et al. TSception: capturing temporal dynamics and spatial asymmetry from EEG for emotion recognition[J].IEEE transactions on affective computing, 2023,14(3): 2238-2250.

【作者简介】

黄嘉扬(1996-), 男, 广东汕尾人, 硕士研究生, 研 究方向: 类脑计算。

翁湖钦(1998-), 男, 广东汕头人, 硕士研究生, 研 究方向: 类脑计算。

韩伟业(2001-), 男, 广东汕尾人, 硕士研究生, 研 究方向: 类脑计算。

秦伟 (1979—), 通信作者 (email: qinw05080@gmail. com), 男, 湖南益阳人, 博士, 研究方向: 机器学习、图 像识别、多源信息融合等。

(收稿日期: 2025-02-19 修回日期: 2025-06-30)